

Рис. 2. Карта рельефа дна и оси линейных магнитных аномалий на хребте Карлсберг по данным систематических исследований. Пунктирными линиями показаны следы псевдоразломов, образовавшиеся в результате продвижения рифта на этапе перестройки от древней к современной конфигурации центров спрединга.

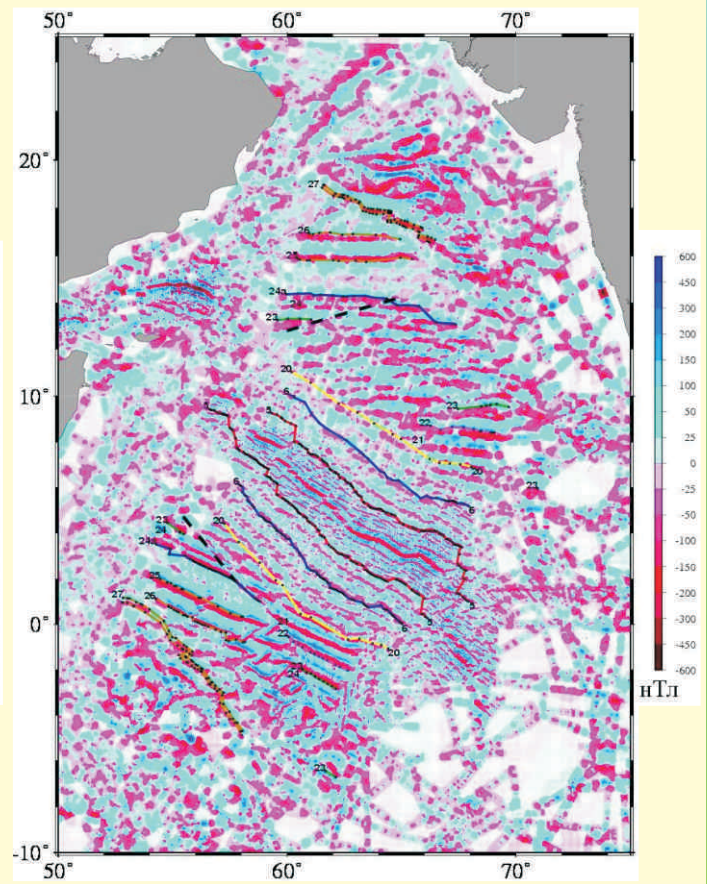


Рис. 3. Карта изолиний аномального магнитного поля и оси линейных магнитных аномалий на хребте Карлсберг по данным магнитометрических исследований. Пунктирными линиями показаны следы псевдоразломов, образовавшиеся в результате продвижения рифта на этапе перестройки от древней к современной конфигурации центров спрединга.

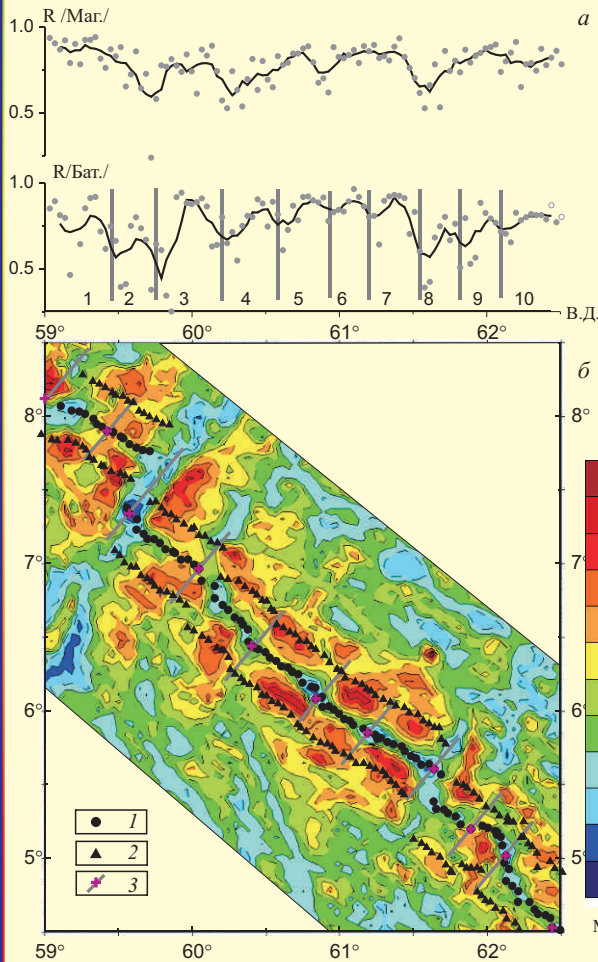


Рис. 4. Выделение сегментов на хребте Карлсберг методом поперфильной корреляции. Точками показаны коэффициенты взаимной корреляции, рассчитанные по магнитным и батиметрическим профилям; сплошной линией - скользящее осреднение; 1-10 - номера выделенных сегментов (а). Фрагмент карты рельефа дна хребта Карлсберг (б): 1 - ось хребта по магнитным и батиметрическим профилям; 2 - аномалия 2; 3 - границы сегментов.

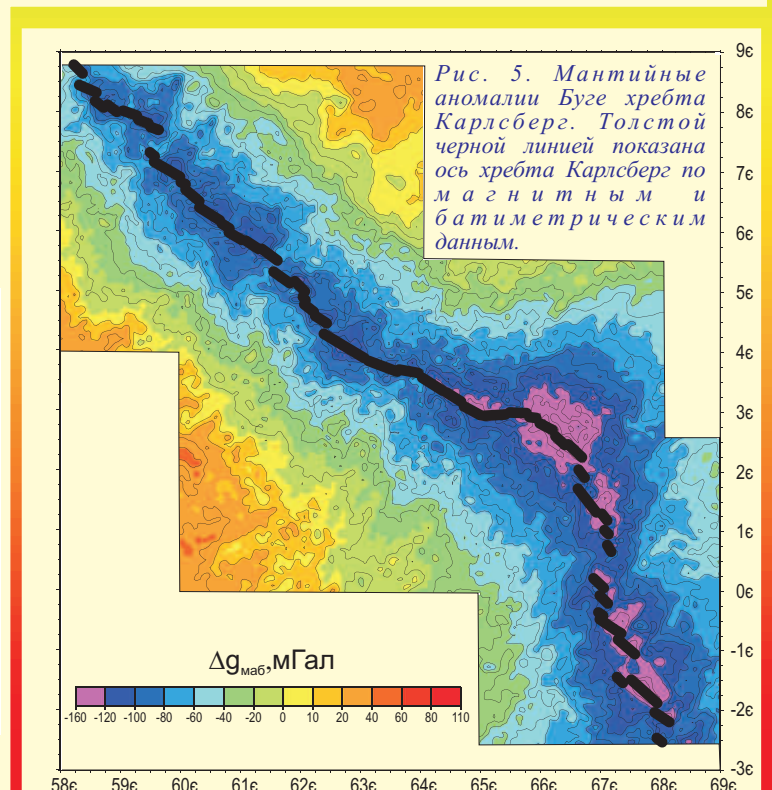


Рис. 5. Мантийные аномалии Буге хребта Карлсберг. Толстой черной линией показана ось хребта Карлсберг по магнитным и батиметрическим данным.